

ΓΕΩΛΟΓΙΑ.— **Συγκριτικαὶ γεωμορφολογικαὶ παρατηρήσεις ἐπὶ τῶν ὑδρογραφικῶν δικτύων τοῦ Ἐρυμάνθου καὶ Λάδωνος, ὑπὸ Ἰλίᾳ Δ. Μαριολάκου\***. Ἀνεκοινώθη ὑπὸ τοῦ Ἀκαδημαϊκοῦ κ. Ἰω. Τρικαλινοῦ.

### I. ΕΙΣΑΓΩΓΗ

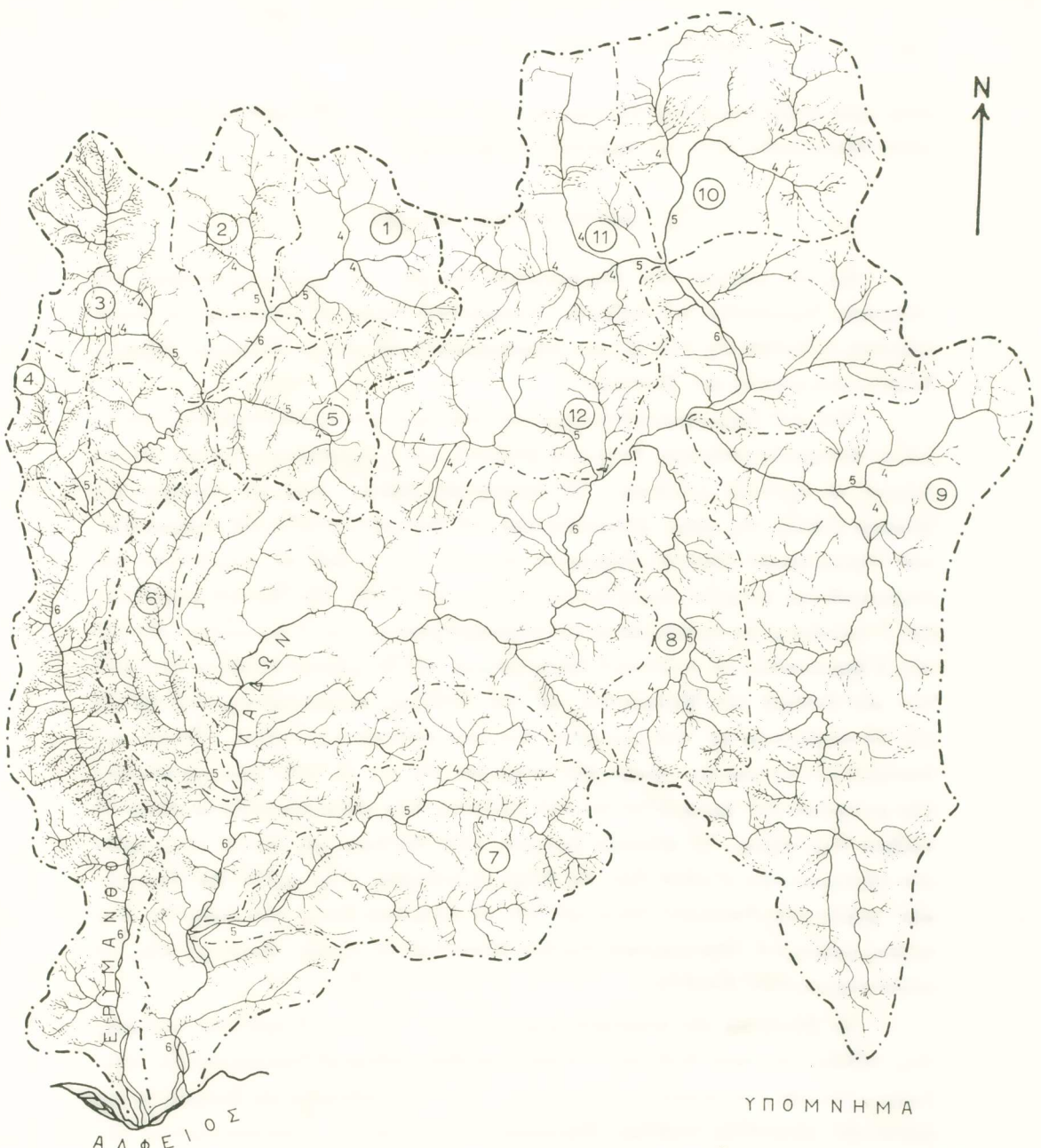
Εἰς τὰ πλαίσια τῆς εὐρυτέρας μελέτης τοῦ μεγαλυτέρου ποταμοῦ τῆς Πελοποννήσου, τοῦ Ἀλφειοῦ, προέβημεν εἰς τὴν σύγκρισιν τῶν μορφομετρικῶν στοιχείων τῶν δύο μεγαλυτέρων καὶ σπουδαιοτέρων παραποτάμων αὐτοῦ, ἵτοι τοῦ Λάδωνος καὶ τοῦ Ἐρυμάνθου. Οὗτοι ἔνοῦνται μετὰ τοῦ κυρίως Ἀλφειοῦ εἰς τὴν περιοχὴν τῆς Ὄλυμπίας παρὰ τὸ χωρίον Ἀσπρα Σπίτια. Τὰ σημεῖα συμβολῆς των ἀπέχουν μεταξύ των περὶ τὰ 2,5 χιλιόμετρα, δημιουργουμένης οὕτω μιᾶς «Τριποταμίας».

Ἐκ τῆς συγκριτικῆς παρατηρήσεως τῶν ὑδρογραφικῶν δικτύων τῶν μελετηθέντων ποταμῶν ἔξαγονται τὰ ἀκόλουθα. Ὁ κύριος κλάδος τοῦ Ἐρυμάνθου ἐν ἀρχῇ μὲν διευθύνεται πρὸς Βορρᾶν, ἐνῷ ἀπὸ τῆς περιοχῆς Κούμανι - Βιδαλίου κάμπτεται πρὸς Βορειοανατολικά. Ἐτερον μορφολογικὸν γνώρισμα εἶναι ὅτι μέχρι τοῦ χωρίου Παλαιοφυτεία περίπου, τὸ δίκτυον παρουσιάζει μίαν δρογώνιον διάταξιν, ἐνῷ ἀπὸ τοῦ σημείου αὐτοῦ καὶ βορειοανατολικώτερον τοῦτο ἀναπτύσσεται ὑπὸ μορφὴν δενδριτικήν. Ἀντιθέτως ὁ Λάδων παρουσιάζει πολυπλοκώτερον δίκτυον. Οὕτως, ἀπὸ ἀπόψεως μορφῆς ἔξεταξόμενον, ἀπὸ τῆς θέσεως τοῦ ὑδρολεκτρικοῦ ἐργοστασίου περίπου καὶ νοτιώτερον, δύναται νὰ χαρακτηρισθῇ ὡς γωνιῶδες, ἀπὸ δὲ τοῦ σημείου τούτου καὶ βορειοανατολικώτερον ὡς δενδριτικόν.

Εἰς τὴν παροῦσαν ἀνακοίνωσιν δὲν ἀσχολούμεθα μὲ τὴν μορφολογικὴν ἀνάλυσιν ποιοτικοῦ (περιγραφικοῦ) χαρακτῆρος, δοθέντος ὅτι ἐπὶ τοῦ θέματος τούτου ἀναφέρονται ἐν ἐκτάσει οἱ Philippson (1892 - 1959), Maul (1921), ὡς καὶ ἄλλοι ἐρευνηταί, ἄλλοι ἀντιθέτως μὲ τὴν ποσοτικὴν ἀνάλυσιν τοῦ ὑδρογραφικοῦ δικτύου.

Ἀντικείμενον ἐπομένως τῆς ὅλης ἐρευνητικῆς προσπαθείας εἶναι ἡ ἔξακριβωσις τῶν ὑφισταμένων σχέσεων μεταξὺ τῶν διαφόρων μορφολογικῶν παραμέτρων τοῦ ὑδρογραφικοῦ δικτύου τῶν παραποτάμων τοῦ Ἀλφειοῦ, Ἐρυμάνθου καὶ Λάδωνος καί, εἰς ὅσας περιπτώσεις εἶναι δυνατόν, ἡ ἔξήγησις τούτων. Σημειωτέον ὅτι τὰ ἀποτελέσματα τῆς παρούσης μελέτης θὰ ἀποτελέσουν ἀντικείμενον συγκρί-

\* ILIAS MARIOLAKOS, Comparative geomorphological observations between the drainage patterns of Erymanthos and Ladon (Peloponnisos, Greece).



**ΧΑΡΤΗΣ ΥΔΡΟΓΡΑΦΙΚΟΥ  
ΔΙΚΤΥΟΥ  
ΕΡΥΜΑΝΘΟΥ ΚΑΙ ΛΑΔΩΝΟΣ**

---	I	τάξεως	κλάδοι
>	II	"	"
>	III	"	"
> <sup>4</sup>	IV	"	"
5	6	V, VI	"

Εικ. 1.

σεως πρός ἔτερα παρομοίας φύσεως, διὰ τὴν ἐπίλυσιν γενικωτέρων προβλημάτων, τόσον θεωρητικῶν, ὅσον καὶ πρακτικῆς ἐφαρμογῆς.

## II. ΜΟΡΦΟΛΟΓΙΚΑ ΣΤΟΙΧΕΙΑ

Διὰ τὴν μελέτην τοῦ ὑδρογραφικοῦ δικτύου τῶν δύο παραποτάμων τοῦ Ἀλφειοῦ, Ἐρυμάνθου καὶ Λάδωνος, ἔχονται σημειώσεις τοπογραφικοὶ χάρται κλίμακος 1:50.000 τῆς Γ.Υ.Σ. καὶ συγκεκριμένως τὰ φύλλα Τρόπαια, Κέρτεζι, Δάφνη, Δημητσάνα καὶ Κανδήλα.

Ἐπὶ τοῦ ὑδρογραφικοῦ δικτύου τῶν ἀνωτέρω πέντε φύλλων χάρτου, καταλλήλως συναρμολογηθέντων, ἐγένετο ἡ ἀνάλυσις καὶ ἡ ταξινόμησις τούτου ὡς καὶ ἄπασαι αἱ σχετικαὶ μετρήσεις. Ἡ ταξινόμησις ἐγένετο κατὰ τὸ σύστημα τοῦ Horton (1945), ὡς τοῦτο ἐβελτιώθη ὑπὸ τοῦ Strahler (1957). Τὸ ταξινομημένον ὑδρογραφικὸν δίκτυον παρίσταται εἰς τὴν εἰκ. 1, ἐνῷ τὰ μετρηθέντα καὶ ὑπολογισθέντα στοιχεῖα παρατίθενται εἰς τὸν πίν. I, II, III. Ἐκ τοῦ χάρτου τῆς εἰκ. 1 προκύπτει ὅτι ἀμφότεροι οἱ μελετώμενοι ποταμοὶ εἶναι VIης τάξεως. Εἰς τὸν πίν. I ἐμφαίνονται τὰ συνοπτικὰ ἀποτελέσματα τῶν μετρήσεων ἀπάντων τῶν κλάδων τῶν δικτύων τοῦ Ἐρυμάνθου καὶ τοῦ Λάδωνος κεχωρισμένως, ἐνῷ εἰς τὸν πίν. II παρέχονται τὰ στοιχεῖα μόνον διὰ τοὺς κλάδους Vης τάξεως. Ὁ πίν. III ἀποτελεῖ τὸν συνοπτικὸν πίνακα τῶν στοιχείων τοῦ πίν. II, τοῦτο ἔστιν τὸ σύνολον τῶν στοιχείων τοῦ Ἐρυμάνθου καὶ τοῦ Λάδωνος, ἐὰν οὕτοι ἀπετελοῦντο μόνον ἐκ κλάδων Vης τάξεως. Ἡ ἀνωτέρω διάκρισις πλὴν τῆς διαφορᾶς εἰς τὴν γεωμετρίαν τῶν ὑδρογραφικῶν δικτύων ἔχει, ὡς θέλει ἐν συνεχείᾳ ἀναπτυχθῆ, καὶ οὐσιαστικὴν γεωλογικὴν διαφορὰν λόγῳ τοῦ ὅτι τὸ ἀπομένον ἐκτὸς τῶν λεκανῶν Vης τάξεως τμῆμα τοῦ ὑδρογραφικοῦ δικτύου ἀναπτύσσεται σχεδὸν ἀποκλειστικῶς ἐπὶ πλειοτεταρτογενῶν ἀποθέσεων.

Ως βάσις διὰ τὴν ποσοτικὴν μορφολογικὴν ἀνάλυσιν ἐλήφθησαν οἱ κλάδοι Vης τάξεως καὶ τοῦτο διότι ἀπὸ ἀπόψεως πλήθους συνιστοῦν ἵκανοποιητικὸν ὑπόβαθρον διὰ τὴν στατιστικὴν ἐπεξεργασίαν. Ἐξ ἀλλού δύνανται νὰ θεωρηθοῦν ὅτι ἀποτελοῦν αὐτοτελεῖς μονάδας ὑδρογραφικάς, διμοιομόρφως κατανευμημένας ἐφ' ὅλης τῆς λεκάνης ἀπορροῆς, ἔξαιρέσει τοῦ νοτίου ἥμισεος τοῦ Ἐρυμάνθου, τὸ δυτικόν, ὡς προανεφέρθη, παρουσιάζει ἴδιότυπον μορφήν.

Διὰ τὴν ἐπὶ τὸ καλύτερον σύγκρισιν τῶν εἰς τοὺς προηγουμένους πίνακας παρατιθεμένων στοιχείων προέβημεν εἰς τὴν κατασκευὴν ὠρισμένων καμπυλῶν (εἰκ. 2, 3, 4, 5, 6), περὶ τῶν δυοῖν τῶν γίνεται ἐκτενέστερον λόγος εἰς τὰς οἰκείας παραγράφους.

Π Ι Ν Α Ε      I

	Πλήθυς Θεμάτων κατά τάξην					Σύνολο Θεμάτων					Μήκος Θεμάτων κατά τάξην					Συνολικόν μήκος		Μέσον μήκος θεμάτων κατά τάξην	
	N <sub>1</sub>	N <sub>2</sub>	N <sub>3</sub>	N <sub>4</sub>	N <sub>5</sub>	ΣΝ	L <sub>1</sub>	L <sub>2</sub>	L <sub>3</sub>	L <sub>4</sub>	L <sub>5</sub>	L <sub>6</sub>	ΣL	—	—	—	—	—	
*Εργμανθος	1292	298	68	14	5	1678	494,3	204,1	100,8	26,8	24,2	42	892,1	0,38	0,68	1,48	1,91	4,84	
Λαδων	2332	570	130	29	7	3069	993,5	465,2	249,0	121,1	60,4	62	1951,2	0,43	0,82	1,92	4,18	8,63	

	*Επτάσις		Περίμετρος	Συντελεστής διακλαδόσεως					Συντελεστής μήκους θεμάτων					Πυκνότης		Συγνότης	
	A	P		Rb <sub>1,2</sub>	Rb <sub>2,3</sub>	Rb <sub>3,4</sub>	Rb <sub>4,5</sub>	R <sub>2,1</sub>	R <sub>3,2</sub>	R <sub>4,3</sub>	R <sub>5,4</sub>	R <sub>6,5</sub>	D	F	D	F	
*Εργμανθος	3 60,2	133	4,34	4,38	4,86	2,80	1,79	2,18	1,29	2,53	8,68	2,48	4,66				
Λαδων	1122,7	193	4,09	4,38	4,48	4,14	1,91	2,34	2,18	2,06	7,18	1,74	2,74				

Τὰ μήκη καὶ αἱ ἐπιφάνειαι διδονται εἰς γλυ. καὶ τερο. χλμ. ἀντιστοιχῶς.

## Π Ι Ν Α Ξ Ι Ι

Α ε κ α ν	Πλήθος θεμάτων κατά τάξην				Σύνολον θεμάτων				Συνολικόν μῆκος θεμάτων κατά τάξην				Συνολικόν μῆκος	*Επαστική λεκάνης	Περίμετρος
	N <sub>1</sub>	N <sub>2</sub>	N <sub>3</sub>	N <sub>4</sub>	ΣΝ	L <sub>1</sub>	L <sub>2</sub>	L <sub>3</sub>	L <sub>4</sub>	L <sub>5</sub>	ΣL	A	P		
5	1	73	20	6	2	102	36,5	16,6	7,5	5,3	4,7	70,6	49,53	31,0	
φ	2	80	20	5	2	108	39,0	12,4	8,5	5,7	2,0	67,6	35,53	27,0	
φαναρί	3	213	43	9	2	268	88,0	27,0	24,9	2,8	10,0	152,7	59,08	37,0	
δραχμές	4	94	24	6	2	127	32,0	10,8	5,5	2,5	3,0	53,8	18,39	19,5	
Ε	5	171	38	8	2	220	71,7	30,4	12,4	5,8	4,5	124,8	49,62	32,5	
	6	292	60	13	2	368	87,7	31,1	17,1	16,0	4,2	156,1	48,56	40,5	
α	7	392	89	16	3	501	170,2	69,8	24,8	19,7	13,5	298,0	121,67	58,0	
θ	8	170	35	10	2	218	80,5	29,0	14,5	3,4	10,4	141,4	86,08	46,5	
ρ	9	294	78	18	2	393	121,6	68,6	46,8	31,1	9,0	277,1	248,81	97,5	
α	10	125	39	10	3	178	76,9	34,1	20,9	9,9	8,0	149,8	104,51	42,0	
Α	11	122	37	9	4	173	68,5	34,5	11,8	11,7	3,2	129,7	71,85	47,5	
	12	116	30	8	3	158	61,5	26,5	13,5	4,4	8,5	114,4	57,87	35,0	

Π Ι Ν Α Ε      II    (συνέχεια)

Α Ζ Ξ Α Ζ Α	Α Ζ Ξ Α Ζ Α	Συντελεστά διακλαδώσεως			Μέσον μῆκος θεμάτων κατά τάξην			Πικνότης ἀπολητεύ- σεως		Συγχρόνης θεμάτων		Συντελεστής μήκους θεμάτων		
		Rb <sub>1,2</sub>	Rb <sub>2,3</sub>	Rb <sub>3,4</sub>	Ī <sub>1</sub>	Ī <sub>2</sub>	Ī <sub>3</sub>	D	F	R <sub>2,1</sub>	R <sub>3,2</sub>	R <sub>4,3</sub>	R <sub>5,4</sub>	
50	1	3,6	3,3	3,0	0,50	0,83	1,25	2,65	1,42	2,06	1,66	1,51	2,12	1,77
ρ	2	4,0	4,0	2,5	0,49	0,62	1,70	2,85	1,90	3,04	1,27	2,74	1,68	0,70
ανατ.	3	4,9	4,7	4,5	0,41	0,63	2,77	1,40	2,58	4,54	1,54	4,40	0,51	7,14
ρ	4	3,9	4,0	3,0	0,34	0,45	0,92	1,25	2,93	6,91	1,32	2,14	1,36	2,40
Η.	5	4,5	4,7	4,0	0,42	0,80	1,55	2,90	2,51	4,43	1,90	1,94	1,87	1,55
	6	4,8	4,6	6,5	0,30	0,52	1,32	8,00	3,21	7,58	1,73	2,54	6,06	0,53
Λ	7	4,4	5,5	5,3	0,43	0,78	1,55	6,57	2,45	4,12	1,81	1,99	4,24	2,05
3	8	4,8	3,5	5,0	0,47	0,83	1,45	1,70	2,08	3,20	1,77	1,75	1,17	8,24
ρ	9	3,7	4,3	9,0	0,41	0,88	2,60	15,50	0,11	1,58	2,15	2,95	5,98	0,58
ρ	10	3,2	3,9	3,3	0,62	0,87	2,09	3,30	1,43	1,70	1,40	2,40	1,58	2,42
Α	11	3,3	4,1	2,2	0,56	0,93	1,33	2,93	1,81	2,41	1,66	1,41	2,24	1,09
	12	3,9	3,7	2,6	0,53	0,86	1,69	1,47	1,97	2,73	1,66	1,92	0,87	5,78

## ΠΡΑΚΤΙΚΑ ΤΗΣ ΑΚΑΔΗΜΙΑΣ ΑΘΗΝΩΝ

Π Ι Ν Α Σ Ι Ι Ι

	Πλήθος θεμάτων κατά τάξην					Σύνολον θεμάτων					Μήκος θεμάτων κατά τάξην					Συνολικόν μήκος θεμάτων κατά τάξην		
	N <sub>1</sub>	N <sub>2</sub>	N <sub>3</sub>	N <sub>4</sub>	N <sub>5</sub>	ΣΝ	L <sub>1</sub>	L <sub>2</sub>	L <sub>3</sub>	L <sub>4</sub>	L <sub>5</sub>	L <sub>6</sub>	ΣL	—L <sub>1</sub>	—L <sub>2</sub>	—L <sub>3</sub>	—L <sub>4</sub>	—L <sub>5</sub>
*Εργάσιμος	651	145	34	10	5	846	267,2	97,2	58,8	22,1	24,2	42	511,5	0,41	0,67	1,73	2,21	4,84
Λίδων	1511	368	84	19	7	1990	666,9	293,6	149,4	96,2	56,8	62	1324,9	0,44	0,80	1,78	5,06	8,11

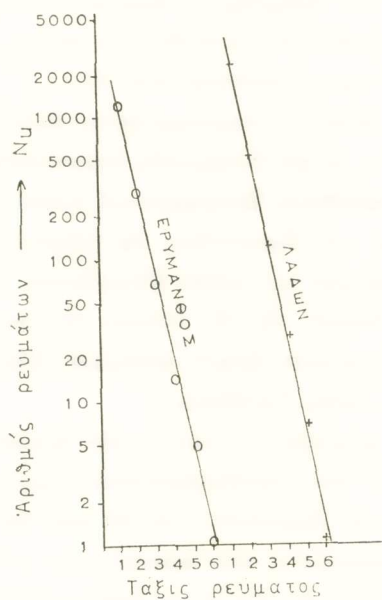
	Συντελεστής διαχλαδώσεως					Συντελεστής μήκους θεμάτως					Πικνότης		Συχνότης θεμάτων	
	A	Rb <sub>1,2</sub>	Rb <sub>2,3</sub>	Rb <sub>3,4</sub>	Rb <sub>4,5</sub>	R <sub>2,1</sub>	R <sub>3,2</sub>	R <sub>4,3</sub>	R <sub>5,4</sub>	R <sub>6,5</sub>	D	F		
*Εργάσιμος	212,2	4,49	4,26	3,40	2,00	1,63	2,58	1,28	2,19	8,18	2,41	3,98		
Λίδων	739,4	4,11	4,38	4,42	2,71	1,82	2,23	2,84	1,60	7,64	1,79	2,69		

## III. ΣΥΓΚΡΙΤΙΚΑΙ ΠΑΡΑΤΗΡΗΣΕΙΣ ΚΑΙ ΣΥΜΠΕΡΑΣΜΑΤΑ.

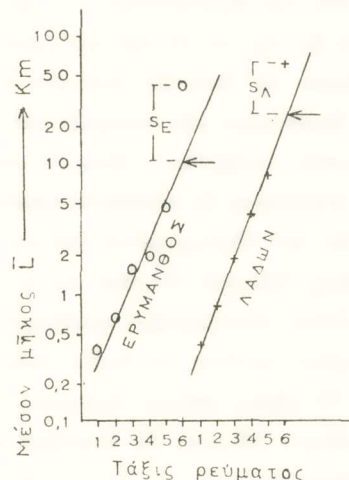
Έκ της μελέτης και συγκρίσεως τῶν τιμῶν τῶν εἰς τὸ προηγούμενον κεφάλαιον παρατεθέντων πινάκων, ώς και τῶν κατασκευασθεισῶν καμπυλῶν, προέκυψαν τὰ κάτωθι:

1) Ἡ ἔκτασις τοῦ μὲν Ἐρυμάνθου ἀνέρχεται εἰς  $360,2 \text{ km}^2$ , τοῦ δὲ Λάδωνος  $1122,7 \text{ km}^2$ , ἥτοι ὁ Λάδων ἀποστραγγίζει τριπλασίαν περίπου ἔκτασιν ἀπὸ ὅσην ὁ Ἐρύμανθος.

2) Ὁ συνολικὸς ἀριθμὸς τῶν κλάδων ὅλων τῶν τάξεων ( $\Sigma N$ ) τοῦ Ἐρυμάνθου εἶναι 1678, ἐνῷ τοῦ Λάδωνος 3069, ἥτοι εἶναι κατά τι μικρότερος τοῦ



Εἰκ. 2.



Εἰκ. 3.

διπλασίου τοῦ Ἐρυμάνθου. Τοῦτο ἐξ ἄλλου καθίσταται ἐμφανὲς και ἐκ τῶν ὑπολογισθεισῶν τιμῶν πυκνότητος τοῦ δικτύου ( $D$ ), ἡ δοπία εἰς μὲν τὸν Ἐρύμανθον ἀνέρχεται εἰς  $2,48 \text{ km/km}^2$ , εἰς δὲ τὸν Λάδωνα εἰς  $1,74 \text{ km/km}^2$  (ἰδὲ πίν. I).

Έκ τῆς εἰκ. 2, ἐπὶ τῆς δοπίας ἔχει σημειωθῆ τὸ πλῆθος τῶν κλάδων ἐκάστης τάξεως τῶν δύο περιγραφομένων ποταμῶν ἐπὶ ἡμιλογαριθμικοῦ χάρτου, καταφαίνεται ὅτι αἱ κατανομαὶ και τῶν δύο ποταμῶν εἶναι εὐθεῖαι και παράλληλοι μεταξύ των.

3) Τὸ συνολικὸν μῆκος τοῦ δικτύου τοῦ Ἐρυμάνθου ἀνέρχεται εἰς  $892,1 \text{ km}$

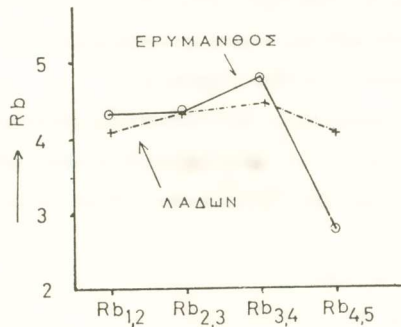
καὶ εἶναι περίπου τὸ ἥμισυ ἔκείνου τοῦ Λάδωνος (1951, 2 km). Ὁνδιαφέρον παρουσιάζουν αἱ τιμαὶ τοῦ μέσου μῆκους τῶν κλάδων κατὰ τάξιν, αἱ διοῖαι διὰ μὲν τοὺς Ιης, Πας καὶ ΗΠης τάξεως κλάδους εἶναι περίπου αἱ αὐταὶ εἰς τοὺς δύο ποταμούς, ἐνῷ διὰ τοὺς ΙVης καὶ Νης, αἱ τοῦ Λάδωνος παρουσιάζονται διπλάσιαι ἔκείνων τοῦ Ἐρυμάνθου. Ἡ σχέσις τοῦ μέσου μῆκους πρὸς τὴν τάξιν φεύγατος δίδεται εἰς τὴν εἰκ. 3. Ὁξεῖς προκύπτει ὅτι ἡ ἀνάπτυξις τῶν δύο δικτύων ἀπὸ ἀπόψεως μέσου μῆκους, κατὰ τάξιν φεύγατος, παρὰ τὰς ἀνωτέρω ἀναφερθείσας διαφοράς, μεταξὺ τῶν ἐπὶ μέρους τιμῶν (ἴδε πίν. I) εἶναι διμοίᾳ. Μοναδικὴν ἀπόκλισιν ἀπὸ τὴν φεύγατος ἀναμενομένην τιμήν, βάσει τοῦ 2ου νόμου τοῦ Horton, ἀποτελεῖ τὸ μέσον μῆκος τῶν κλάδων VIης τάξεως, ἥτοι αὐτῶν τούτων τῶν κυρίων κλάδων τοῦ Ἐρυμάνθου καὶ τοῦ Λάδωνος. Φεύγατος ὁ Λάδων θὰ ἔπειτε νὰ εἶχε μῆκος 27 km καὶ ὁ Ἐρυμανθος 10 km ἔναντι τῶν 62 km καὶ 42 km ἀντιστοίχως, τὸ διοῖον ἔχουν εἰς τὴν πραγματικότητα (εἰκ. 3).

Εἰς τὴν προσπάθειαν νὰ ἔξειγηθῇ ἡ ἀνωτέρω παρατηρουμένη ἀπόκλισις (Se καὶ Sl τῆς εἰκ. 3) τοῦ πραγματικοῦ μῆκους ἐκ τοῦ φεύγατος ἀναμενομένου, ἐλήφθησαν ὑπὸ ὅψιν ἀφ' ἐνὸς μὲν ἡ ἥδη ἀναφερθεῖσα ἰδιομορφία τοῦ νοτίου τμήματος ἀμφοτέρων τῶν ποταμῶν καὶ ἰδιαιτέρως τοῦ Ἐρυμάνθου, ἀφ' ἐτέρου δὲ τὸ γεωλογικὸν ὑπόβαθρον, ὅπερ εἰς μὲν τὴν περιοχὴν τοῦ νοτίου (ἰδιομόρφου) τμήματος συνίσταται ἐκ πλειοτεταρτογενῶν ἀποθέσεων, εἰς δὲ ἀπασαν τὴν λοιπὴν περιοχὴν τοῦ ὑδρογραφικοῦ δικτύου τῶν δύο ποταμῶν ἔχομεν μεσοζωικὰ ἵζηματα τῆς ζώνης Ὡλονοῦ - Πίνδου καὶ ἐν μέρει τῆς ζώνης Τριπόλεως.

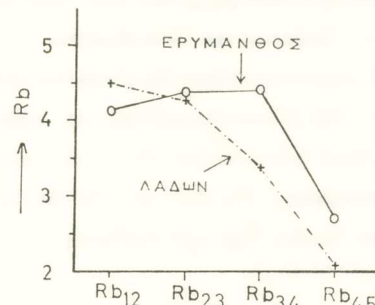
Βάσει τῶν ἀνωτέρω προέβημεν εἰς τὴν μέτρησιν τοῦ μῆκους τῶν τμημάτων τῶν κυρίων κλάδων, τὰ διοῖα διέρχονται διὰ τῶν πλειοτεταρτογενῶν σχηματισμῶν. Τὸ μῆκος τούτων ἀνέρχεται διὰ μὲν τὸν Ἐρύμανθον εἰς 30 km, διὰ δὲ τὸν Λάδωνα 28 km. Τὰ ἀνωτέρω μήκη ἀφαιρούμενα τῶν πραγματικῶν μηκῶν μᾶς δίδουν, διὰ μὲν τὸν Ἐρύμανθον 12 km (42 - 30), διὰ δὲ τὸν Λάδωνα 34 km (62 - 28), ἥτοι τιμὰς αἱ διοῖαι ἐλάχιστα ὑπερέχουν τῶν φεύγατος ἀναμενομένων τοιούτων. Τὸ πρόβλημα ἐπομένως εἶναι γεωλογικόν, ἡ δὲ παρατηρουμένη σύμπτωσις σχεδὸν τῶν τιμῶν, μετὰ τὴν ἀφαίρεσιν τοῦ μῆκους τῶν νοτίων τμημάτων καὶ τῶν φεύγατος ἀναμενομένων, θὰ πρέπῃ νὰ ἀποδοθῇ εἰς τὸ γεγονὸς ὅτι ἡ γεωμορφολογικὴ ἔξελιξις εἰς τὸ νότιον τμῆμα ἀμφοτέρων τῶν ποταμῶν εἶναι διάφορος ἔκείνης τοῦ βιορειοανατολικοῦ. Τοῦτο συμβαίνει, διότι τὰ νότια τμήματα αὐτῶν διασχίζουν πλειοπλειστοκανικὰς ἀποθέσεις, ἐνῷ τὰ βιορειοανατολικὰ ἔχουν ἀναπτυχθῆ ἐντὸς μεσοζωικῶν στρωμάτων, ἡ χέρσευσις τῶν διοίων προηγήθη ἔκείνης τῶν πλειοτεταρτογενῶν. Ἀπὸ γεωμορφολογικῆς ἀπόψεως

έπομένως τὰ νότια τμήματα ἀμφοτέρων τῶν ὑδρογραφικῶν δικτύων συνιστοῦν τρόπον τινὰ ξένα σώματα.

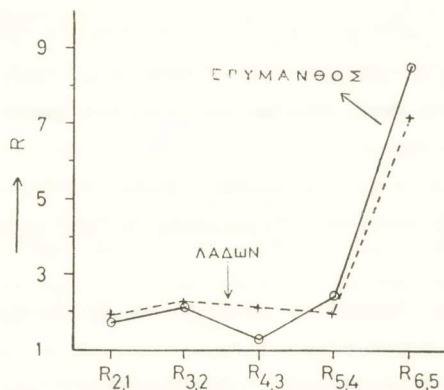
4) Ὁ συντελεστὴς διακλαδώσεως ( $Rb$ ), τουτέστιν ὁ λόγος τοῦ πλήθους τῶν κλάδων μιᾶς τάξεως ( $N_u$ ) πρὸς τὸ πλῆθος τῶν κλάδων τῆς ἀμέσως μεγαλυτέρας τάξεως ( $N_{u+1}$ ), παρουσιάζει σταθερὰν τιμὴν δι<sup>o</sup> ὅλας τὰς τάξεις πλὴν τοῦ  $Rb_{4,5}$ , ὁ δῆμος εἰς τὸν Ἐρύμανθον εἶναι σαφῶς μικρότερος (εἰκ. 4, πίν. I).



Εἰκ. 4.



Εἰκ. 5.



Εἰκ. 6.

Διὰ τὴν ἔξακρίσιν τῶν αἰτίων τῆς ἐν λόγῳ ἀποκλίσεως κατεσκευάσαμεν καὶ ἔτερον διάγραμμα (εἰκ. 5) δῆμοιν τοῦ προηγουμένου (εἰκ. 4), λαμβάνοντες ὑπὸ δύψιν τὰ συνοπτικὰ στοιχεῖα τῶν κλάδων  $V_{\eta}$  τάξεως (πίν. III). Κατ’ αὐτὸν τὸν τρόπον δὲν λαμβάνονται ὑπὸ δύψιν κλάδοι μικροτέρας τάξεως, οἵ δῆμοι δὲν συνιστοῦν τμήματα κλάδων  $V_{\eta}$  τάξεως. Οὕτως ἀπομονοῦται ἐμμέσως τὸ νότιον τμῆμα τοῦ Ἐρυμάνθου. Ἐκ τῆς μελέτης τῆς καμπύλης τῆς εἰκ. 5 καταφαίνεται ὅτι εἰς τὴν πραγματικότητα δὲν ἀποκλίνει ὁ  $Rb_{4,5}$  ἀλλὰ ὁ  $Rb_{3,4}$ , ὅπερ σημαίνει ὅτι καὶ εἰς

τὴν περίπτωσιν τοῦ συντελεστοῦ διακλαδώσεως ( $R_{b_{3,4}}$ ), ὅπως καὶ διὰ τὸ μέσον μῆκος τῶν κλάδων VIης τάξεως, ἢ παρατηρουμένη ἀπόκλισις καὶ τὰ αἴτια ταύτης εἶναι καθαρῶς γεωλογικά.

5) 'Ο συντελεστής μήκους ρεύματος ( $R_{u+1,u}$ ), ἵτοι ὁ λόγος τοῦ μέσου μήκους ρεύματος τάξεως ( $\bar{L}_{u+1}$ ) πρὸς τὸ μέσον μῆκος ρεύματος τῆς ἀμέσως κατωτέρας τάξεως ( $\bar{L}_u$ ) παρουσιάζεται περίπου ὁ αὐτὸς διὰ τοὺς δύο ποταμοὺς μὲ μικρὸν ἀπόκλισιν τοῦ  $R_{4,3}$  διὰ τὸν Ἐρύμανθον (εἰκ. 6, πίν. I).

Τοῦτο εἶναι ἐπακόλουθον τῶν ἀναφερθέντων εἰς τὰς παραγράφους 3 καὶ 4 τοῦ παρόντος κεφαλαίου καὶ δικαιολογεῖται κατὰ τὸν ἴδιον τρόπον.

6) "Οσον ἀφορᾷ εἰς τὴν συχνότητα ρεύματος, ἵτοι τὸν λόγον τοῦ συνολικοῦ ἀριθμοῦ τῶν κλάδων ὅλων τῶν τάξεων ( $\Sigma N$ ) πρὸς τὴν ὀλικὴν ἐπιφάνειαν ἀποστραγγίσεως (A) (ἰδὲ πίν. I), διαπιστοῦται ὅτι εἰς τὸν Ἐρύμανθον εἶναι μεγαλυτέρα (4,66) τῆς τοῦ Λάδωνος (2,74).

#### S U M M A R Y

The geomorphological study of the two major tributaries of Alfios river (Peloponnisos, Greece), Erymanthos and Ladon, gave the values of the various geomorphometric data, which are given on tables I, II, III. The relations between and among the various geomorphometric parameters are given on fig. 2 - 6.

The comparison of the parameters gave the following results:

1. The drainage area of Erymanthos is less than one third of that of Ladon.

2. The drainage density is higher in Erymanthos ( $2,48 \text{ km/km}^2$ ) than in Ladon ( $1,74 \text{ km/km}^2$ ).

3. The total stream length of Erymanthos (892,1 km) is the half of that of Ladon (1951,2 km). The relation of stream length to stream order (fig. 3) is the same for both tributaries. The only deviation from the theoretical values of the graph is the length of the VIth order stream, which should be 27 km (Ladon) and 10 km (Erymanthos) instead of 62 km and 42 km correspondingly. If we subtract from the true length (62 km and 42 km) the length of this part of both tributaries passing through the neogene and quaternary strata, which is 28 km for Ladon and 12 km for Erymanthos, we take the values 34 km (62 - 28) for Ladon and 12 km (42 - 30) for Erymanthos. These values are a little bit different

from the theoretical ones. Hence the only reason for the above mentioned deviation is the different geological evolution of the two parts (south and northeast) of Ladon and Erymanthos.

4. The bifurcation ratios for the whole network are given on fig. 4. Fig. 5, on which the bifurcation ratios for the northeastern part of both networks are depicted, that is, only the part which passes through mesozoik strata, shows that the  $R_{b,4}$  deviates from the general curve.

5. The length ratio is constant with a small deviation of the  $R_{4,3}$ .

6. The stream frequency is greater in Erymanthos (4,66) than in Ladon (2,74).

#### B I B L I O G R A F I A

- J. Doornkamp, C. A. King, Numerical Analysis in Geomorphology. London (Arnold) 1970, p. 372.
- H. G. Dury, Rivers and river terraces. Edinburgh (McMillan) 1970, p. 283.
- E. V. Giusti, W. J. Schneider, The distribution of branches in river networks. Geol. Surv. Prof. Paper Washington 422-3 (1965), p. 10.
- R. E. Horton, Erosional development of streams and their drainage basins. Hydrophysical approach to quantitative morphology.—Geol. Soc. America Bull. 56 (1945), pp. 275 - 370.
- A. Γ. Καλλέργη, "Υδρογεωλογική έρευνα ύπολεκάνης Καλαμπάκας (Δυτ. Θεσσαλία). Ινστ. Γεωλ. Εργ. ('Αθηναί), 14, I (1970), σ. 197.
- C. A. King, Techniques in Geomorphology. London (Arnold Ltd), 1966, p. 342.
- O. Maul, Beiträge zur Morphologie des Peloponnes und des südlichen Mittelgriechenland. A. Pencks Geograph. Abhandlungen, X 3, Leipzig 1921.
- A. Phipps, Die griechischen Landschaften., 3, Teil 1, 2 (Der Peloponnes), Frankfurt 1959.
- D. Richter, I. Marios, Paläomorphologie und Eozäne Verkarstung der Gavrovo-Tripolis-Zone auf dem Peloponnes (Griechenland). Bull. Geol. Soc. Greece (Athen), T. IX (1972), pp. 206 - 228.
- J. Trikkalinos, Über die Einwirkung von orogenen und epirogenen Bewegungen im Peloponnes und deren morphogenetischen Bedeutung. Ann. Géol. des Pays Hellén. (Athen), 6 (1955), S. 1 - 12.
- A. E. Scheidegger, Theoretical Geomorphology. (Springer - Verlag), Berlin 1970, p. 435.
- A. S. Schumm, Evolution of drainage systems and slopes in badlands at Perth Amboy, New Jersey. Geol. Soc. America Bull. 67 (1970), pp. 597 - 646.

- A. N. Strahler, Quantitative analysis of Watershed Geomorphology.  
 Trans. Amer. Geophys. Union, 38 (1957), pp. 913 - 920.  
 ——, Physical Geography. N. York (J. Wiley) 1969, p. 733.

\*

Ο Ακαδημαϊκὸς κ. Ἰω. Τρικκαλινὸς παρουσιάζων τὴν ἀνωτέρῳ ἀνακοίνωσιν εἶπε τὰ ἔξῆς :

Ἐχω τὴν τιμὴν νῦν ἀνακοινώσω εἰς τὴν Ἀκαδημίαν Ἀθηνῶν μελέτην τοῦ Ἐπιμελητοῦ τοῦ Ἑργαστηρίου Γεωλογίας καὶ Παλαιοντολογίας τοῦ Πανεπιστημίου Ἀθηνῶν κ. Ἡλία Μαριολάκου, ἣτις φέρει τὸν ἀκόλουθον τίτλον «Συγκριτικὴ γεωμορφολογικὴ παρατηρήσεις ἐπὶ τῶν ὑδρογραφικῶν δικτύων τοῦ Ἑρμανθοῦ καὶ Λάδωνος».

Ο συγγραφεὺς τῆς παρούσης μελέτης εἰς τὰ πλαίσια εὐρυτέρᾳ μελέτῃ τοῦ μεγαλυτέρου ποταμοῦ τῆς Πελοποννήσου, τοῦ Ἀλφειοῦ, προέβη εἰς τὴν σύγκρισιν τῶν μορφομετρικῶν στοιχείων τῶν δύο μεγαλυτέρων καὶ σπουδαιοτέρων παραποτάμων αὐτοῦ, ἥτοι τοῦ Λάδωνος καὶ τοῦ Ἑρμανθοῦ, οἵτινες ἔνοῦνται μετὰ τοῦ Ἀλφειοῦ εἰς τὸ χωρίον τῆς Ὄλυμπίας Ἀσπρα Σπίτια.

Ο κ. Μαριολάκος μελετῶν διεξοδικῶς τὸ θέμα τοῦτο παραθέτει σειρὰν μορφομετρικῶν πινάκων, οἵτινες ἀποβλέπουν εἰς τὴν ἔξακρίβωσιν τῶν ὑφισταμένων σχέσεων μεταξὺ τῶν διαφόρων μορφολογικῶν παραμέτρων τοῦ ὑδρογραφικοῦ δικτύου τῶν παραποτάμων τοῦ Ἀλφειοῦ, Ἑρμανθοῦ καὶ Λάδωνος. Διὰ τὰς λεπτομερείας τῆς ἀνωτέρῳ μελέτης παραπέμπω εἰς τὰ σχετικὰ Πρακτικὰ τῆς Ἀκαδημίας.